

# Morfologija prepletenih polimernih mrež v odvisnosti od vgrajenih ionskih skupin

## The Dependence of the Morphology of Interpenetrating Polymer Networks on the Ionic Groups Incorporated in the Polymer Backbone

Anžlovar A.<sup>1</sup>, I. Anžur, T. Malavašič, Kemijski inštitut, Ljubljana

Na osnovi anionskih poliuretanskih in kationskih akrilnih predpolimerov z različnimi deleži vgrajenih ionskih skupin smo sintetizirali prepletene polimerne mreže, katerih morfologijo smo določali z diferenčno dinamično kalorimetrijo.

**Ključne besede:** ionske prepletene polimerne mreže, morfologija, diferenčna dinamična kalorimetrija

Interpenetrating polymer networks were synthesised from anionic polyurethane and cationic acrylic prepolymers with different amounts of incorporated ionic groups. Their morphology was determined by differential scanning calorimetry.

**Key words:** ionic interpenetrating polymer networks, morphology, differential scanning calorimetry

### 1. Uvod

Prepletene polimerne mreže (IPN) so kombinacije oziroma zmesi dveh ali več vrst zamreženih polimerov<sup>1,2</sup>. Namen prepletene polimerizacije je dobiti zmesi, pri katerih ločevanje faz ni tako izrazito kot pri zmeseh polimerov, pripravljenih z mehanskim mešanjem.

Največji problem pri njihovi pripravi je termodinamična nekompatibilnost oziroma nemešljivost polimerov, ki jih mešamo. Mešljivost velikih molekul je zagotovljena le, če je  $\Delta H$  negativen. Ta pogoj je izpolnjen v primeru, če so v sistemu prisotne dodatne interakcije, to pa so lahko tudi interakcije med nasprotno nabitimi ioni<sup>3</sup>.

Ena najpomembnejših karakteristik mešanic in prepletene polimernih mrež je njihova morfologija, od katere so odvisne tudi ostale lastnosti. Povezana je s fizikalnimi lastnostmi kot sta modul in temperatura steklastega prehoda, ki zato omogočata njeno proučevanje<sup>4</sup>. Za študij morfologije pa se veliko uporablja tudi elektronska mikroskopija<sup>5</sup>.

Namen našega dela je bil raziskati morfologijo laboratorijsko pripravljenih ionskih prepletene polimernih mrež na podlagi sprememb temperature steklastega prehoda.

### 2. Eksperimentalno delo

#### Materiali:

Poliuretanski (PU) predpolimer (sestava: izoforondiizocianat-IPDI, politetrametilen oksid-PTMO ( $M_n = 2000$ ), butan-

diol-BD in dimetilolpropionska kislina-DMPK) smo sintetizirali po standardnem postopku<sup>6</sup>, akrilni predpolimer (sestava: metil metakrilat-MMA, N,N-dimetilaminoethyl metakrilat-DMAEM, hidroksietil metakrilat-HEMA) pa v raztopini po mehanizmu radikalne verižne polimerizacije. Spreminjali smo delež vgrajene DMPK v PU predpolimeru in delež DMAEM v akrilnem predpolimeru. Določili smo jim povprečja molskih mas in suho snov.

**Zamreževalo:** 1,3,5-izocianatoheksametilen diizocianat-Desmodur-DA (DDA), Bayer, tehnični.

#### Postopki:

V zaprto stekleno posodo, pripravljeno s sušenim dušikom, smo zatehtali obe komponenti v molskem razmerju ionskih skupin 1:1, mešali smo dve minuti in pustili stati preko noči. Nato smo k zmesi zatehtali zamreževalo (preračunano kot 100% presežek), mešali 1,5 min in nato z nožem za nanašanje filmov z režo 250 mm potegnili film na silikonizirano folijo, segreto na 60°C. Po 15 minutah smo film prenesli v sušilnik, sušen z molekulskimi siti, ga najprej dve uri sušili pri 60°C in nato šestnajst ur zamreževali pri 85°C. Zamreženje NCO skupin smo spremvali z infrardečo spektroskopijo (IR).

#### Določanje morfologije

Temperaturo steklastega prehoda posameznih komponent in IPN smo določali z metodo diferenčne dinamične kalorimetrije (DSC). DSC krivulje smo posneli na aparatu Perkin-Elmer DSC-7 v temperaturnem območju od -120°C do 0°C in od 25°C do 130°C s hitrostjo 20°C/min. Iz krivulj smo izračunali temperature steklastega prehoda ( $T_g$ ) in spremembe specifičnih toplot ( $\Delta C_p$ ). Primerjali smo  $T_g$  posameznih komponent in  $T_g$  prepletene polimernih mrež.

<sup>1</sup>mag. Alojz ANŽLOVAR, dipl. ing. kem.techn.  
Kemijski inštitut  
Hajdrihova 19, 61115 Ljubljana

Za računanje sestav zmesi smo uporabili preurejeno Couchmanovo<sup>7</sup> enačbo (1):

$$\omega_1^* = \frac{\Delta c_{p2} (\ln T_{g2} - \ln T_g^*)}{\Delta c_{p1} (\ln T_g^* - \ln T_{g1}) + \Delta c_{p2} (\ln T_{g2} - \ln T_g^*)} \quad (1)$$

$$\omega_2^* = 1 - \omega_1^*$$

in preurejeno Foxovo<sup>8</sup> enačbo (2):

$$\omega_1^* = \frac{T_{g1} (T_{g2} - T_g^*)}{T_g^* (T_{g2} - T_{g1})} \quad \omega_2^* = 1 - \omega_1^* \quad (2)$$

$\omega_1^*$  in  $\omega_2^*$  sta masna deleža,  $T_{g1}$  in  $T_{g2}$  sta temperaturi steklastega prehoda,  $\Delta c_{p1}$  in  $\Delta c_{p2}$  pa spremembi toplotnih kapacitet polimernih komponent 1 in 2,  $T_g^*$  pa je temperatura steklastega prehoda zmesi ali IPN.

### 3. Rezultati

Glede na sestavo smo pričakovali, da se  $T_g$  akrilnih predpolimerov ne bodo bistveno razlikovali od  $T_g$  polimetilmetakrilata ( $T_g=105^\circ\text{C}$ ),  $T_g$  PU predpolimerov pa ne od  $T_g$  politetrametilen oksida ( $T_g=-84^\circ\text{C}$ ), ki v PU tvori mehke segmente.  $T_g$  smo zato določali v dveh temperaturnih območjih od  $-120$  do  $0^\circ\text{C}$  in od  $25$  do  $130^\circ\text{C}$ . Rezultati so v tabeli 1.

**Tabela 1:**  $T_g$  poliuretanske in akrilne komponente pred in po mešanju in zamrževanju

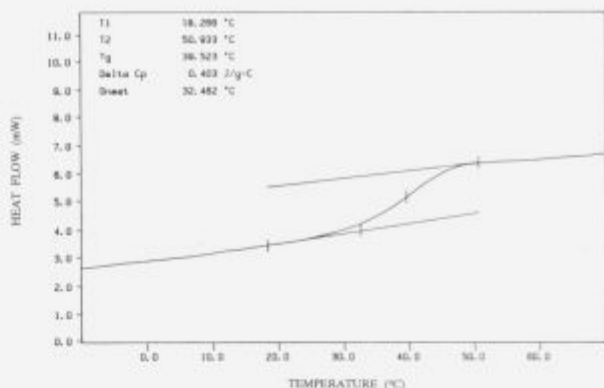
**Table 1:** Glass transition temperatures of polyurethane and acrylic components before and after the mixing and crosslinking

Koncentr. ionskih skupin mmol/g	$T_g$ uretan, komp. pred mešanje $^\circ\text{C}$	$T_g$ uretan, komponente v IPN $^\circ\text{C}$	$\Delta T_g$ $^\circ\text{C}$	$T_g$ akrilne komp. pred mešanjem $^\circ\text{C}$	$T_g$ akrilne komponente v IPN $^\circ\text{C}$	$\Delta T_g$ $^\circ\text{C}$
0.00	-75	-72	3	94	96	2
0.05	-76	-77	-1	94	96	2
0.15	-76	-76	0	94	90	-4
0.25	-75	-81	-6	95	78	-17
0.35	-78	-80	-2	93	80	-13
0.45	-75	-81	-6	93	81	-12

Primerjava rezultatov merjenja  $T_g$  mehkih segmentov poliuretanske komponente pred in po mešanju ne kaže bistvenih razlik, kajti napaka pri določanju  $T_g$  mehkih segmentov v IPN (po mešanju) je  $\pm 5^\circ\text{C}$  zaradi slabo izraženih steklastih prehodov.

Primerjava izmerjenih  $T_g$  akrilne komponente pred in po mešanju pa kaže opazno znižanje pri vzorcih z večjimi količinami vgrajenih ionskih skupin. Ker se  $T_g$  mehkih segmentov poliuretana malo spreminja, sklepamo, da se akrilna komponenta meša s trdimi segmenti poliuretanske komponente. Trdi segmenti vsebujejo karboksilne skupine dimetilolpropionske kisline, ki zaradi interakcij s terciarnimi aminskimi skupinami akrilne komponente omogočajo mešanje.

Da bi to potrdili, smo sintetizirali vzorec poliuretana brez mehkih segmentov in mu določili  $T_g$  ( $40^\circ\text{C}$ ) in  $\Delta c_p$  ( $0.409 \text{ J/g}^\circ\text{C}$ ) (Slika 1). Določili smo tudi  $\Delta c_p$  akrilnih komponent. Izmerjene



**Slika 1:** DSC krivulja in  $T_g$  trdih segmentov poliuretana  
**Figure 1:** DSC curve and glass transition temperature of polyurethane hard segments

vrednosti smo uporabili za izračunavanje sestav zmesi poliuretanskih trdih segmentov in akrilne komponente. Računali smo jih po enačbi (1) in (2). Rezultati so v tabeli 2.

Deleži uretanske komponente, ki smo jih izračunali po enačbi (1), so nižji od tistih izračunanih po enačbi (2), ker pri slednji niso upoštevane razlike v spremembah toplotne kapacitete ( $\Delta c_p$  trdih segmentov v poliuretanu je namreč enkrat večja kot  $\Delta c_p$  akrilne komponente).

**Tabela 2:** Izračunane sestave zmesi trdih segmentov poliuretana in akrilne komponente za različne koncentracije vgrajenih ionskih skupin (sestava v primeru popolnega mešanja:  
akrilna komponenta - 0,67, trdi uretanski segmenti - 0,34)

**Table 2:** Calculated compositions of mixtures of polyurethane hard segments and acrylic component for various concentrations of ionic groups (composition in the case of ideal mixing:  
acrylic component - 0,67, polyurethane hard segments - 0,34)

Koncentracija ionskih skupin mmol/g	delež akrilne komponente	delež trdih segmentov poliuretana	delež akrilne komponente	delež trdih segmentov poliuretana
0.00	1,00	0,00	1,00	0,00
0.05	1,00	0,00	1,00	0,00
0.15	0,92	0,08	0,95	0,05
0.25	0,74	0,28	0,81	0,19
0.35	0,78	0,22	0,86	0,14
0,45	0,80	0,20	0,87	0,13

a: deleži, izračunani po enačbi 2 v teoretičnem delu

b: deleži, izračunani po enačbi 1 v teoretičnem delu

Na osnovi izmerjenih  $T_g$  in izračunanih sestav zmesi poliuretanske in akrilne komponente sklepamo, da v prepletenih polimernih mrežah na osnovi kationskih akrilnih kopolimerov in anionskih poliuretanov s koncentracijo ionskih skupin nad  $0,25 \text{ mmol/g}$  poteče delno mešanje. Kljub delni mešljivosti še vedno obstajata dve fazi, prvo tvorijo mehki segmenti uretanske komponente, druga faza pa je zmes trdih segmentov uretanske komponente in akrilne komponente. Ločevanje faz je posledica dejstva, da mehki segmenti poliuretana ne vsebujejo ionskih skupin, ki omogočajo mešanje, in so tudi manj polarni od trdih segmentov.

Ugotovitev se ujemajo z rezultati, ki so jih dobili Eisenberg in sodelavci<sup>9</sup>. Pri določanju  $T_g$  polimernih mešanic kationskih

poliuretanov in anionskih stirenskih polimerov so namreč vedno opazili dva  $T_g$ , če so v poliuretan vgradili mehke segmente (PTMO) s povprečno molsko maso 2000. Pri poliuretanih s krajšimi mehkimi segmenti je porazdelitev ionskih skupin v poliuretanski verigi bolj enakomerna, kar v nekaterih primerih omogoča tudi mešanje mehke faze.

#### 4. Ugotovitve

Na osnovi izmerjenih temperatur steklastega prehoda prepletenih polimernih mrež sklepamo, da vgrajene ionske skupine izboljšajo mešljivost polimernih komponent.

Kljub izboljšani mešljivosti zaradi vgrajenih ionskih skupin pa izmerjene temperature steklastega prehoda mehkih segmentov poliuretanske komponente kažejo, da sta pri vseh vzorcih prisotni dve fazi. Eno fazo tvorijo mehki segmenti poliuretanske komponente, druga pa je zmes akrilne in trdih segmentov uretanske komponente. Deleži akrilne komponente in trdih segmentov PU, izračunani na osnovi Couchmanove in Foxove enačbe, kažejo pri vzorcih z visoko vsebnostjo ionskih skupin dokaj intenzivno mešanje.

#### 5. Zahvala

Delo je del projekta Polimeri in polimerni mreži v usnjarstvu, ki ga financira Ministrstvo za znanost in tehnologijo republike Slovenije. Ministrstvu se za financiranje zahvaljujemo.

#### 6. Literatura

- <sup>1</sup> H. L. Frisch, D. Klempner, K. C. Frisch, *Polym. Lett.*, 7, 1969, 775
- <sup>2</sup> L. H. Sperling, D. W. Friedman, *J. Polym. Sci.*, A-2 7, 1969, 425
- <sup>3</sup> D. Fox, R. Allen, Compatibility v knjigi: H. F. Mark, N. M. Bikales, G. C. Overberger, G. Menges, *Encyclopedia of Polymer Science*, John Wiley & Sons, 3, 1985, 766
- <sup>4</sup> D. Klempner, L. Berkowski, Interpenetrating Polymer Networks v knjigi: H. F. Mark, N. M. Bikales, G. C. Overberger, G. Menges, *Encyclopedia of Polymer Science and Engineering*, John Wiley & Sons, 8, 1985, 297
- <sup>5</sup> D. A. Thomas, *J. Polym. Sci. Polym. Symp.*, 60, 1974, 198
- <sup>6</sup> R. E. Tirpak, P. H. Markusch, *J. Coat. Technol.*, 58, 1986, 49
- <sup>7</sup> Z. Roslaniec, *Polymer*, 34, 1993, 359
- <sup>8</sup> D. Fox, R. Allen, Compatibility v knjigi: H. F. Mark, N. M. Bikales, G. C. Overberger, G. Menges, *Encyclopedia of Polymer Science and Engineering*, John Wiley & Sons, 3, 1985, 768
- <sup>9</sup> R. Murali, A. Eisenberg, Glass Transition Temperatures in Styrene Ionomers and their Blends, v knjigi: M. Pineri, A. Eisenberg Structure and Properties of Ionomers, D. Reidel Publishing Company, 1987, 316